

บทที่ 4 ผลการทดลองและอภิปรายผล

4.1 ผลการทดสอบการดึงของวัสดุ

จากผลการทดสอบการหาสมบัติทางกลของเหล็กกล้าความแข็งแรงสูง SPFC440 ที่ความหนาหนา 1.2 มม. และ 1.4 มม. จะพบว่าวัสดุมีสมบัติทางกลดังตารางที่ 4.1 ส่วนสมบัติทางกลของ เหล็กกล้าความแข็งแรงสูง SPFC440 ชนิดเชื่อมพ่วง (ความหนา 1.2 และ 1.4 มิลลิเมตร) จะแสดงในตารางที่ 4.2

ตารางที่ 4.1 สมบัติทางกลของเหล็กกล้าความแข็งแรงสูง SPFC440 ที่ทิศทางการรีด 0 องศา

sheet thickness (mm.)	Yield Strength (N/mm ²)	Ultimate Tensile Strength(N/mm ²)	% Elongation	n	K	R-Value
1.2	329.454	438.754	36.594	0.182	719.87	0.889
1.4	296.69	410.79	37.408	0.156	632.95	1.413

ตารางที่ 4.2 สมบัติทางกลของเหล็กกล้าความแข็งแรงสูง SPFC440 ชนิดเชื่อมพ่วง

Type of TWBs	Yield Strength (N/mm ²)	Ultimate Tensile Strength(N/mm ²)	% Elongation	n	K	R-Value
L	358.274	518.485	22.085	0.151	802.58	1.092
D	333.116	439.721	17.774	0.156	685.36	0.831
T	302.069	429.971	21.492	0.17	721.9	1.218

L, Longitudinally welded specimen

คือ แนวเชื่อมทำมุม 0 องศา กับแนวการดึง

D, Diagonal welded specimen

คือ แนวเชื่อมทำมุม 45 องศา กับแนวการดึง

T, Transverse welded specimen

คือ แนวเชื่อมทำมุม 90 องศา กับแนวการดึง

จากผลการทดสอบการดึงพบว่า เหล็กกล้าความแข็งแรงสูง SPFC440 ที่มีความหนา 1.2 มิลลิเมตร จะมีความสามารถในการไหลตัวได้ดีกว่าเหล็กกล้าความแข็งแรงสูง SPFC440 ที่หนา 1.4 มิลลิเมตร เนื่องจากมีค่า Strain Hardening Exponent (n) สูงกว่า และวัสดุเหล็กกล้าความแข็งแรงสูง SPFC440

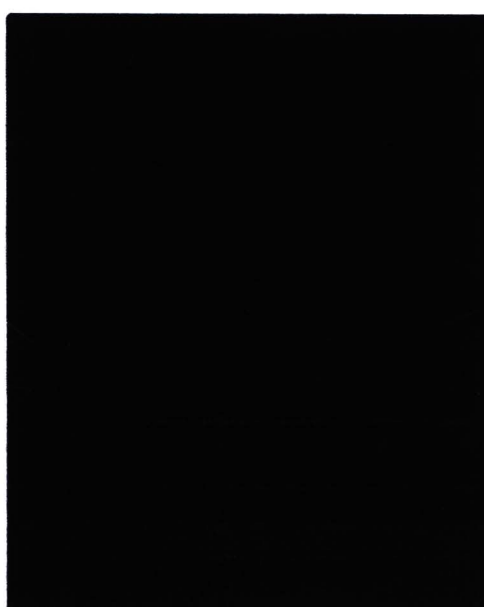
ที่มีความหนา 1.2 มิลลิเมตรมีค่า Yield Strength และ Ultimate Tensile Strength สูงกว่าวัสดุเหล็กกล้าความแข็งแรงสูง SPFC440 ที่มีความหนา 1.4 มิลลิเมตร ทั้งนี้สาเหตุที่วัสดุทั้งสองความหนาไม่สมบัติต่างกันเป็นเพราะว่าวัสดุมีความหนาไม่เท่ากันตลอดทั้งแผ่น และมีส่วนประกอบทางเคมีที่ต่างกัน ดังตารางที่ 3.1

สำหรับการทดสอบการดึงชิ้นงานที่เชื่อมพ่วงจะเห็นว่า ชิ้นงานเชื่อมพ่วงทำมุม 0 องศา, 45 องศา และ 90 องศา ค่า Yield Strength, Ultimate Tensile Strength ที่ได้มีค่าสูงกว่าวัสดุที่ไม่ได้เชื่อม และกรณีที่ชิ้นงานมีแนวเชื่อมทำมุม 45 องศา และ 90 องศา กับแนวการดึง ชิ้นงานจะขาดในส่วนของวัสดุบาง (ส่วนที่มีความหนา 1.2 มิลลิเมตร) ไม่ได้ขาดที่แนวการเชื่อม และการขาดของชิ้นงานยังอยู่ในช่วงของ Gauge length

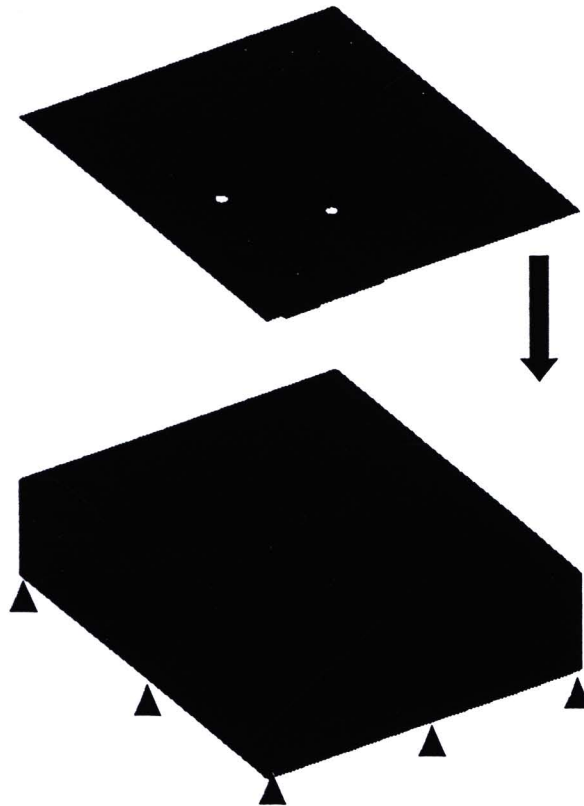
4.2 ผลการจำลองการขึ้นรูป

4.2.1 ผลเฉลยของการจำลองการขึ้นรูป

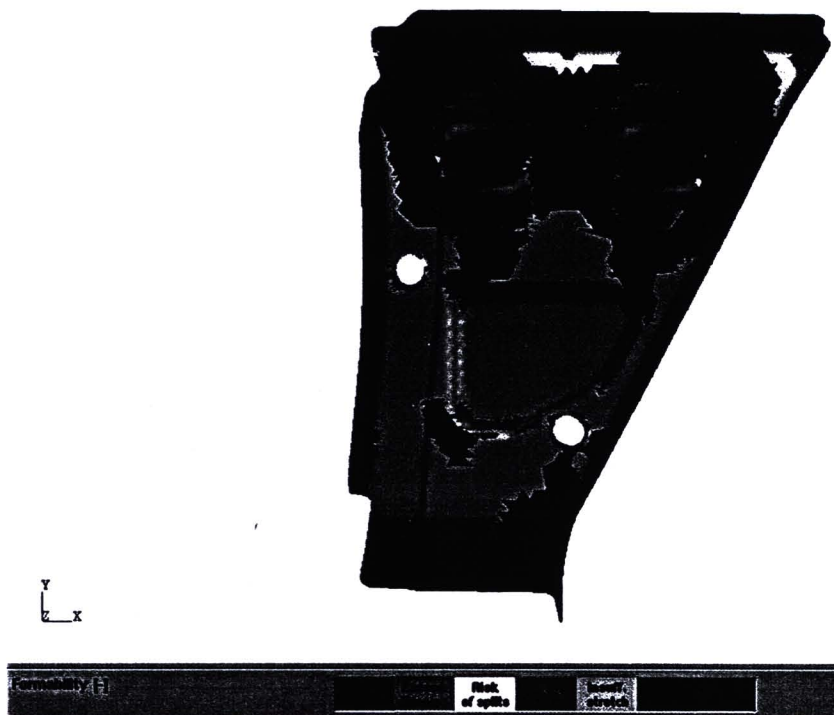
เมื่อทำการจำลองและวิเคราะห์เพื่อหาผลเฉลยโดยการทดลองสร้างแม่พิมพ์ด้วยโปรแกรมไฟไนต์เอลิเมนต์ ดังแสดงในรูปที่ 4.1 และรูปที่ 4.2 พบว่า



รูปที่ 4.1 แม่พิมพ์ตัวล่างใน โปรแกรมไฟไนต์เอลิเมนต์

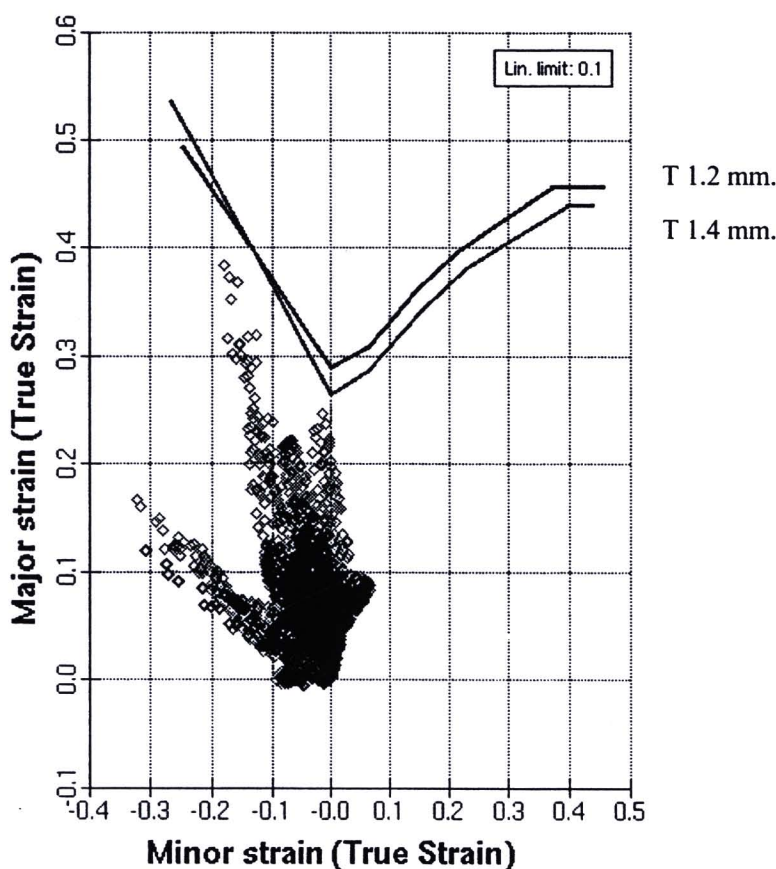


รูปที่ 4.2 แม่พิมพ์จำลองในโปรแกรมไฟไนต์เอลิเมนต์



รูปที่ 4.3 ผลการจำลองของชิ้นงานเชื่อมพ่วงจากการคำนวณโดยใช้โปรแกรมไฟไนต์เอลิเมนต์

จากรูปที่ 4.3 แสดงผลจำลองของชิ้นงานเชื่อมพ่วง ซึ่งแสดงให้เห็นถึงความสามารถในการขึ้นรูป จะเห็นว่า ส่วนที่ได้รับแรงในการขึ้นรูปนั้น อยู่ในเกณฑ์ที่ปลอดภัยในการขึ้นรูป

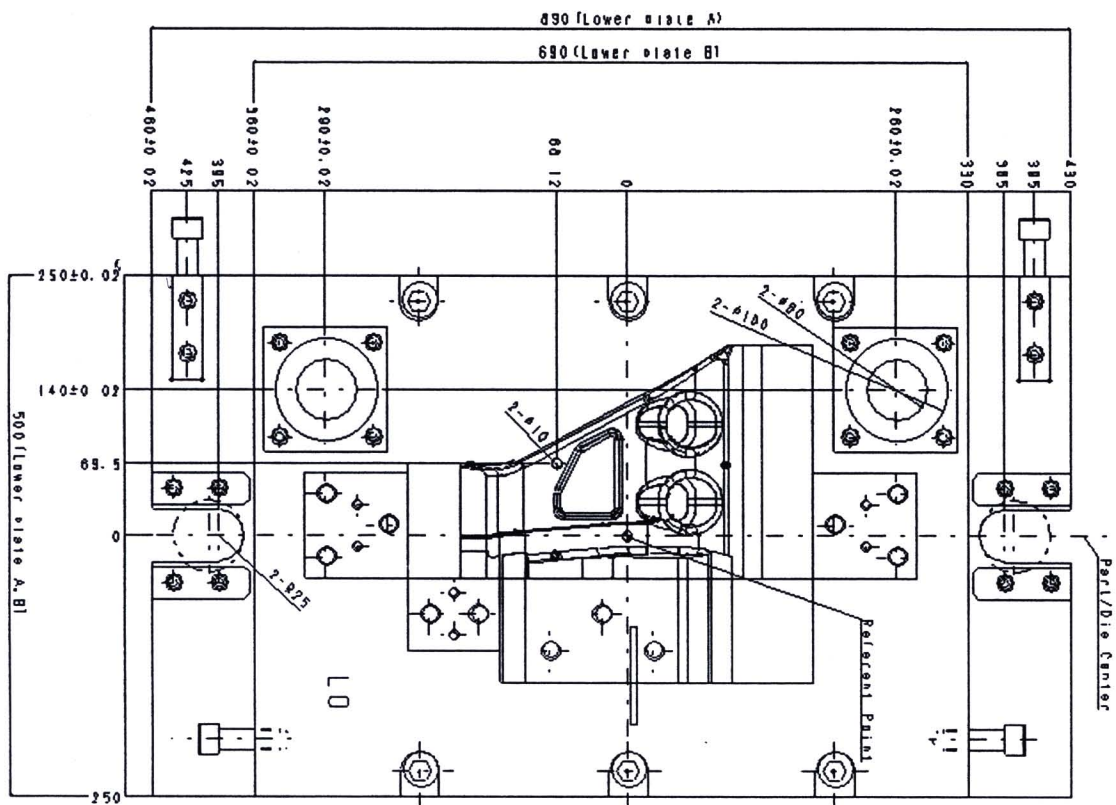


รูปที่ 4.4 ผลเฉลยแผนภาพขีดจำกัดการขึ้นรูป

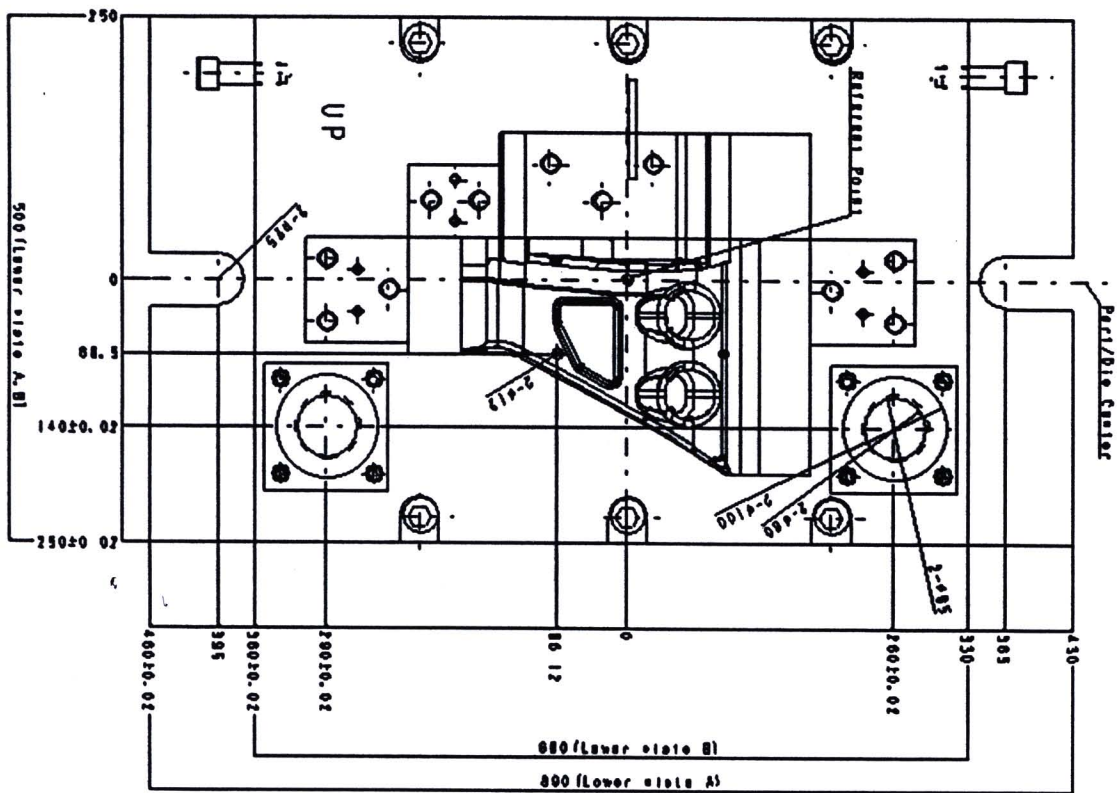
จากการวิเคราะห์ด้วยกราฟขีดจำกัดการขึ้นรูปผลเฉลยที่ได้ในโปรแกรม (Forming Limit Diagram: FLD) แสดงให้เห็นว่า ค่าความเครียดที่เกิดขึ้นไม่เกินขีดจำกัดในการขึ้นรูปของชิ้นงานทำให้ชิ้นงานไม่มีแนวโน้มที่จะเกิดความเสียหาย ดังนั้นจึงทำการนำข้อมูลที่ได้จากการสร้างแบบจำลองแม่พิมพ์ในโปรแกรมนำไปสร้างแม่พิมพ์สำหรับขึ้นรูปชิ้นงานจริงต่อไป

4.3 ผลการขึ้นรูปชิ้นงานจริง

4.3.1 แม่พิมพ์ที่ใช้ขึ้นรูปชิ้นงานจริง



รูปที่ 4.5 แบบแม่พิมพ์ตัวบน (upper Die)



รูปที่ 4.6 แบบแม่พิมพ์ตัวล่าง (Lower Die)

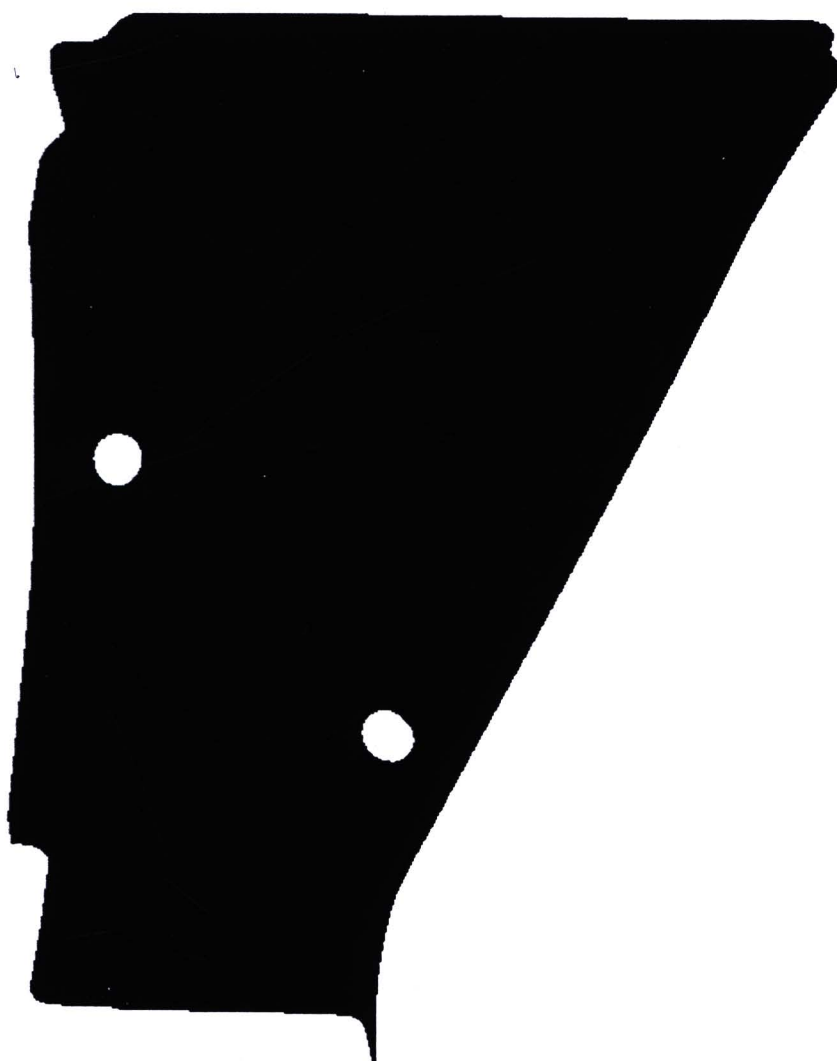


รูปที่ 4.7 แม่พิมพ์ที่ใช้ในการขึ้นรูปจริง

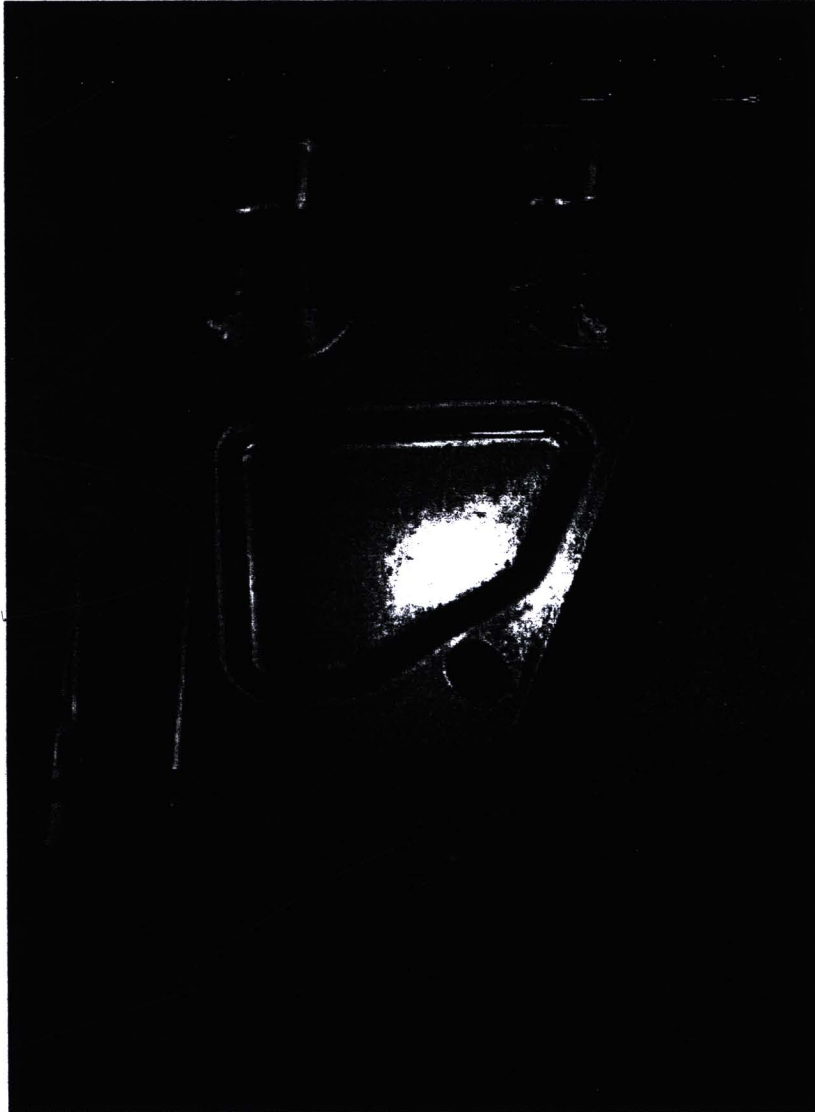
4.4 ผลการเปรียบเทียบผลเฉลยสุดท้ายกับชิ้นงานสำเร็จ

4.4.1 ผลการเปรียบเทียบลักษณะรูปร่างของผลเฉลยสุดท้ายกับชิ้นงานสำเร็จ

จากการทำการทดลองชิ้นรูปชิ้นงานเชื่อมพ่วงจริงและทำการเปรียบเทียบลักษณะรูปร่างของชิ้นงานเชื่อมพ่วงที่ได้จากการจำลองชิ้นรูปในโปรแกรมคอมพิวเตอร์กับชิ้นงานที่ได้จากการขึ้นรูปจริงแล้วพบว่ามีความสอดคล้องกันคือชิ้นงานที่ได้ไม่มีรอยแตกและไม่มีกรณีกักขาด



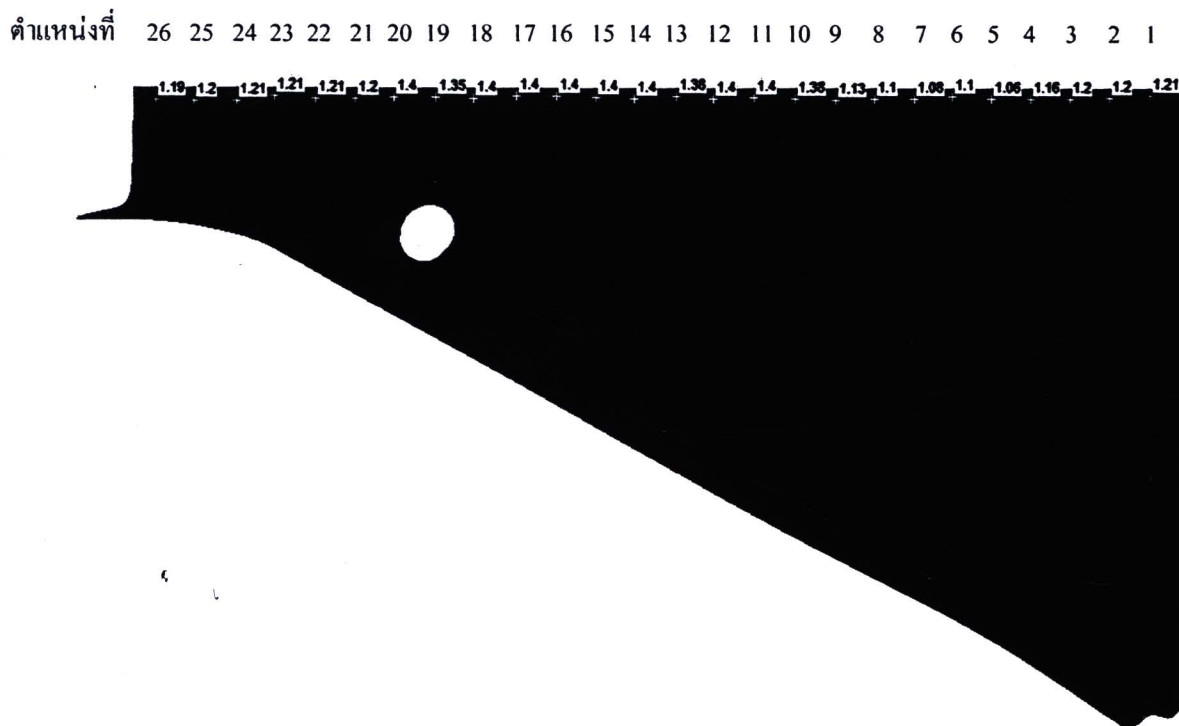
รูปที่ 4.8 ผลเฉลยสุดท้ายจากการจำลองชิ้นงานเชื่อมพ่วงในคอมพิวเตอร์



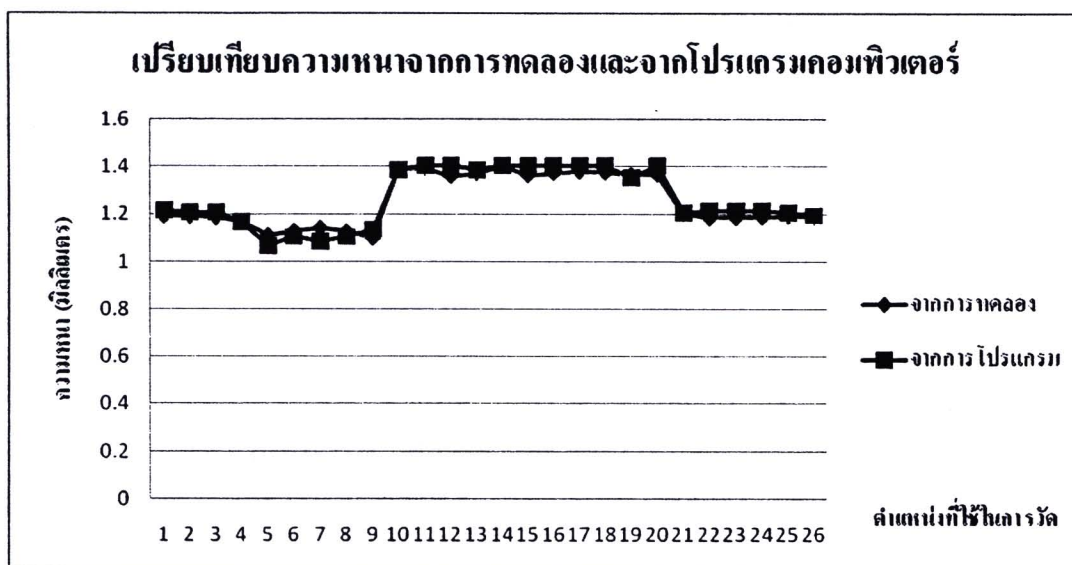
รูปที่ 4.9 ชิ้นงานเชื่อมพ่วงทดลองที่ได้จากการขึ้นรูปจริง

4.4.2 ผลการเปรียบเทียบความหนาของผลจำลองกับชิ้นงานสำเร็จ

การเปลี่ยนแปลงความหนาในแนวตัดขวางของชิ้นงาน ในส่วนของที่ขึ้นรูปมากทั้งในชิ้นงานจำลองเชื่อมพ่วงในคอมพิวเตอร์ (รูปที่ 4.8) และชิ้นงานเชื่อมพ่วงทดลอง (รูปที่ 4.9)

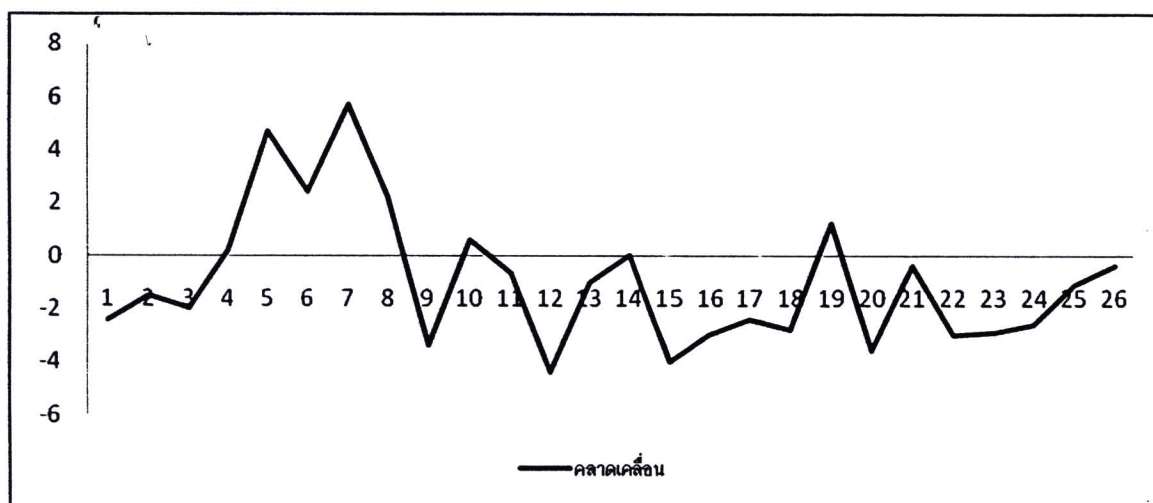


รูปที่ 4.10 ความหนาที่เกิดขึ้นในภาพจำลองโปรแกรม



รูปที่ 4.11 เปรียบเทียบความหนาของชิ้นงานจริงและชิ้นงานที่ได้จากการจำลองจากโปรแกรมคอมพิวเตอร์

จากรูปที่ 4.10 แสดงให้เห็นว่าความหนาที่เปลี่ยนแปลงไปเมื่อเปรียบเทียบกันความหนาของชิ้นงานเชื่อมพ่วงจากการทดลองและจากการจำลองของโปรแกรมคอมพิวเตอร์แสดงให้เห็นว่าชิ้นงานจากการทดลองมีค่าการเปลี่ยนแปลงความหนามากกว่าชิ้นงานที่ได้จากการจำลอง ทั้งนี้เนื่องจากว่าวัสดุที่ใช้ในการจำลองมีความหนาที่เท่ากันทั้งแผ่น ทำให้มีค่าความแข็งแรงเท่ากันในทุกทิศทาง เมื่อเปรียบเทียบกับชิ้นงานจากการทดลองที่เป็นวัสดุนำเข้าเกรดสองซึ่งมีความหนาไม่สม่ำเสมอกันทั่วทั้งแผ่นจึงทำให้มีการคลาดเคลื่อนของการเปรียบเทียบของการจำลองชิ้นงานจากการทดลองและชิ้นงานจากโปรแกรมคอมพิวเตอร์ ดังรูปที่ 4.11



รูปที่ 4.12 เปรียบเห็นค่าความคลาดเคลื่อนของความหนาชิ้นงานในแนวตัดขวาง

4.5 ผลการเปรียบเทียบน้ำหนักชิ้นงานก่อนการปรับปรุงและภายหลังปรับปรุง

น้ำหนักชิ้นงานก่อนการปรับปรุงซึ่งมีความหนา 1.4 มิลลิเมตร เท่ากันทั้งชิ้นงานมีค่าเท่ากับ 466 กรัม และน้ำหนักชิ้นงานภายหลังปรับปรุงซึ่งเป็นชิ้นงานแผ่นเชื่อมพ่วงมีค่าเท่ากับ 426 กรัม จะเห็นได้ว่าน้ำหนักของชิ้นงานลดลงจากเดิม 40 กรัม คิดเป็น 9.01% และสามารถนำชิ้นงานหลังปรับปรุงไปใช้งานได้จริง